

Rapport mi-projet Fairness pour l'IA

Erwan LEMATTRE, Yannis CHUPIN

5 avril 2024

Table des matières

| | | |
|-----------|---|-----------|
| 1 | Introduction | 4 |
| I | Analyse | 5 |
| 2 | Découverte du jeu de données | 5 |
| 2.1 | La base de données | 5 |
| 2.2 | Répartition des données | 5 |
| 2.2.1 | Catégories de véhicule | 5 |
| 2.2.2 | Gravité de l'accident | 5 |
| 3 | Préparation des données | 5 |
| 4 | Analyse des données | 6 |
| 4.1 | Analyse univariée des données | 6 |
| 4.1.1 | Les accidents mortels | 6 |
| 4.1.2 | Les piétons | 7 |
| 4.1.3 | L'âge | 7 |
| 4.1.4 | Le genre des conducteurs | 7 |
| 4.1.5 | Le type de collision | 8 |
| 4.2 | Analyse bivariée des données | 8 |
| 4.2.1 | Le genre du conducteur | 8 |
| 4.2.2 | L'âge du conducteur | 9 |
| 5 | Apprentissage | 10 |
| 5.1 | Split | 10 |
| 5.2 | Encodage One Hot | 10 |
| 5.3 | Arbre de décision | 10 |
| 5.4 | GaussianNB | 11 |
| 5.5 | Base Rate | 12 |
| 6 | Audit du modèle | 12 |
| 6.1 | Génération des contrefactuels avec Dice | 12 |
| 6.2 | BlackBoxAuditing | 12 |
| 6.3 | Expliquer le modèle avec les valeurs de Shapley | 14 |
| 6.4 | Expliquer le modèle avec Lime | 15 |
| 7 | Premières conclusions | 15 |
| 8 | Une réflexion pour la suite | 16 |
| II | Correction des biais | 17 |
| 9 | Améliorations du modèle | 17 |
| 9.1 | Sur-échantillonnage | 17 |
| 9.2 | <i>Random Forest Classifier</i> | 18 |
| 10 | Pre-processing | 18 |

| | | |
|-----------|---|-----------|
| 10.1 | Repondération | 18 |
| 10.2 | Disparate Impact Remover | 18 |
| 10.3 | Représentation latente fair | 19 |
| 11 | In-processing | 19 |
| 11.1 | Adversarial debiasing | 19 |
| 12 | Post-processing | 19 |
| 12.1 | Reject option classification | 19 |
| 12.1.1 | Un nouveau seuil | 19 |
| 12.1.2 | Les nouvelles performances du modèle | 20 |
| 12.1.3 | Les performances pour la Fairness | 20 |
| 12.2 | Calibrated equalized odds | 21 |
| 13 | Résultats | 21 |
| 14 | Conclusion | 21 |
| A | Les données conservées pour le modèle. | 22 |
| B | Les données abandonnées et la raison de leur abandon | 24 |
| C | Diagrammes en cascade des valeurs de Shapley | 25 |

1 Introduction

Ce projet a pour objectif d'analyser les accidents de la circulation routière afin de pouvoir déterminer à partir des données d'un véhicule accidenté si l'accident est mortel ou non. Les données sont des données libres mises à disposition par le *Ministère de l'Intérieur et des Outre-Mer*. Le jeu de données correspond aux accidents de 2005 à 2022 en France. Nous allons, dans une première partie, analyser ces données afin d'extraire les informations utiles à l'apprentissage. Puis nous essaierons de repérer d'éventuelles sources de biais affectant notre modèle.

Vous pouvez retrouver le code sur le GitHub du projet. Le fichier `main.ipynb` contient le code principal que nous allons suivre et contextualiser tout au long de ce rapport. de plus, le fichier `utils.py` contient toutes les fonctions auxiliaires que nous utilisons dans le fichier principal.

Première partie

Analyse

2 Découverte du jeu de données

2.1 La base de données

La base de données est composée de plusieurs tables : *usagers*, *véhicules*, *lieux* et *caractéristiques*. Nous avons joint ces quatre parties pour obtenir un dataframe contenant une cinquantaine de colonnes. On peut retrouver une partie des attributs dans l'annexe B.

2.2 Répartition des données

Afin de pouvoir conserver les données utiles pour l'apprentissage, nous avons analysé la répartition des différentes données dans notre dataframe. Nous avons ainsi pu faire différentes observations.

Voici quelques-unes d'entre elles qui nous sont ensuite utiles pour la préparation des données.

2.2.1 Catégories de véhicule

La base de données contient beaucoup de types de véhicules différents. Nous avons cependant pu remarquer que la majorité des véhicules sont dans seulement 5 catégories.

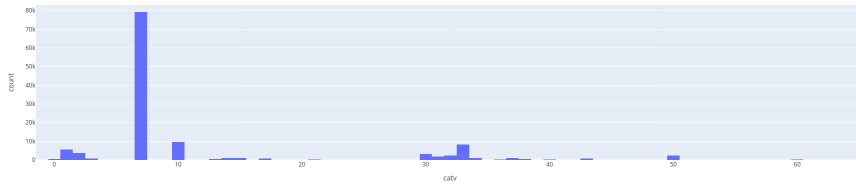


FIGURE 1 – Répartition des catégories de véhicules

2.2.2 Gravité de l'accident

En affichant l'effectif d'individus décédés dans un accident, nous avons pu remarquer qu'ils ne représentent qu'une infime partie des individus accidentés. Leur proportion est si faible que ça ne nous permet pas d'apprendre un modèle. C'est la raison pour laquelle nous avons décidé de nous intéresser non pas à la mortalité à l'échelle d'une personne, mais plutôt à l'échelle d'un accident. Nous nous mettons pour cela au niveau d'un véhicule car cela nous permet de conserver plus d'informations (à l'échelle d'un accident, on aurait dû enlever trop d'informations pour ne conserver que les attributs plus généraux à l'accident).

3 Préparation des données

À partir des observations précédentes, nous avons supprimé les attributs moins intéressants pour l'apprentissage et nous avons modifié certains attributs afin d'en extraire les informations inté-

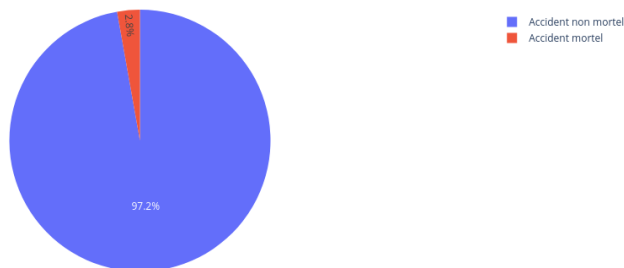


FIGURE 2 – Proportion d’accidents mortels

ressantes.

Les attributs supprimés sont : *voie*, *v1*, *v2*, *pr*, *pr1*, *lartpc*, *larroul*, *num_veh*, *occutc*, *adr*, *senc*, *etatp*, *actp*, *manv*, *jour*, *com*, *hrmn*, *motor*, *place*, *vosp*, *locp*.

Nous avons effectué les modifications suivantes :

- Création d’un attribut *mortal* qui vaut 1 si le véhicule est impliqué dans un accident mortel, 0 sinon.
- À partir de l’attribut *sexe*, nous avons créé un attribut *sexe_conducteur* qui garde seulement le sexe du conducteur du véhicule.
- Création d’un attribut *piéton* qui vaut 1 si un piéton est impliqué dans l’accident, sinon 0.
- Nous avons utilisé l’année de naissance et l’année de l’accident pour récupérer l’âge du conducteur.
- L’attribut *vma* a été découpé en 4 catégories de vitesse.
- Pour les attributs *catv* et *catr*, nous avons gardé les valeurs les plus représentées dans la base de données.

Nous avons également réduit les valeurs de certains attributs. Par exemple, pour des attributs avec des valeurs telles que *Non-renseigné*, *Autre*, ... nous avons regroupé ces valeurs en une seule valeur. L’objectif était ici de simplifier en réduisant les catégories mais également d’améliorer les performances de notre modèle.

4 Analyse des données

Une fois nos données préparées, nous avons pu les visualiser. Nous allons montrer dans les deux prochaines parties les observations intéressantes que nous avons pu faire lors de l’analyse de notre dataset.

4.1 Analyse univariée des données

4.1.1 Les accidents mortels

Une donnée intéressante à observer est la proportion de véhicules impliqués dans un accident mortel. C’est en effet la valeur que nous voulons prédire.

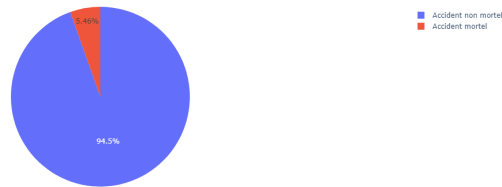


FIGURE 3 – Proportion des véhicules impliqués dans un accident mortel

Nous pouvons remarquer sur la figure 3 que le fait de s'intéresser aux véhicules impliqués dans un accident mortel et non plus aux personnes nous permet de doubler ce pourcentage. Même si cette proportion reste faible, cela va nous permettre d'avoir plus de données dans la catégorie mortelle lors de l'apprentissage et par conséquent d'avoir un meilleur modèle.

4.1.2 Les piétons

Nous nous sommes ensuite intéressés aux accidents dans lesquels un piéton est impliqué. La figure 4 nous montre qu'un peu moins de 10% des accidents impliquent un piéton.



FIGURE 4 – Proportion des accidents avec piéton

4.1.3 L'âge

Nous pouvons visualiser l'âge des conducteurs via une boîte à moustache. La figure 5 nous montre la répartition de l'âge des conducteurs. Lors du prétraitement des données, les valeurs aberrantes ont été enlevées. On retrouve donc logiquement des âges contenus entre 0 et 100 ans. L'âge médian des conducteurs est 33 ans avec le premier quartile à 21 et le troisième quartile à 49 ans. Même si on peut imaginer que des valeurs sont fausses (il y a des conducteurs de moins de 16 ans), les valeurs sont tout de même assez cohérentes par rapport à ce que l'on pourrait imaginer de la répartition de l'âge des conducteurs.

4.1.4 Le genre des conducteurs

Le genre des conducteurs est assez intéressant à analyser. Sur la figure 6, nous pouvons remarquer une différence importante entre le nombre de femmes au volant d'un véhicule ayant eu un accident (indice 0) et le nombre d'hommes (indice 1). Cette différence pourrait être une source de biais pour notre modèle. En effet, le fait qu'il y ait beaucoup plus de données d'accident avec des hommes ne signifie pas qu'il y a plus de chances d'avoir un accident si on est un homme.



FIGURE 5 – Âge des conducteurs

Cela signifie peut-être que la proportion d’hommes au volant est plus élevée et donc qu’il y a plus d’accidents avec un homme au volant car il y a plus d’hommes au volant. Le risque ici est que moins de données avec des femmes conduisent à des prédictions plus marquées pour les femmes et par conséquent à des potentiels biais.

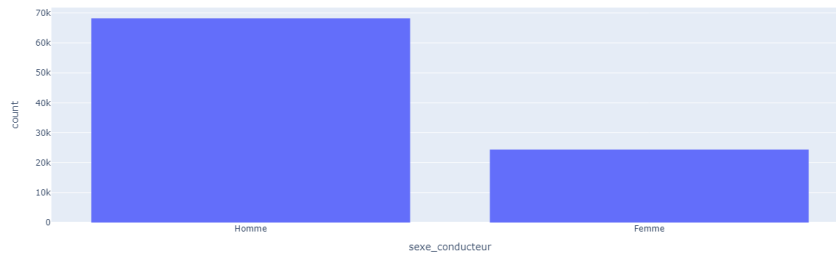


FIGURE 6 – Genre des conducteurs

4.1.5 Le type de collision

La figure 7 montre la répartition des différents types de collisions dans notre dataset. On peut remarquer que tous les types de collisions sont plutôt bien représentés dans notre dataset. C’est un attribut qui pourra être assez intéressant pour l’apprentissage.

4.2 Analyse bivariée des données

Nous allons dans cette partie donner quelques exemples intéressants obtenus lors de l’analyse bivariée. On peut retrouver l’ensemble des graphiques observés dans le fichier `main.ipynb`.

4.2.1 Le genre du conducteur

Un attribut qu’il est intéressant d’analyser est le genre du conducteur. En effet, il peut être source de biais s’il y a un déséquilibre entre hommes et femmes. On retrouve globalement la même proportion dans la corrélation que l’on soit homme ou femme. Les hommes étant beaucoup



FIGURE 7 – Les types de collision

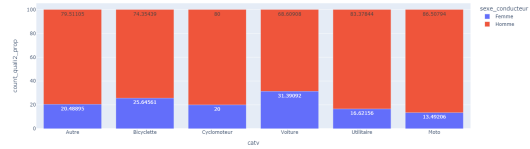
plus représentés dans le dataset, la proportion d'hommes est logiquement plus élevée. On peut cependant faire quelques remarques.

La figure 8a nous montre une proportion de femmes moins élevée quand *obsm* vaut 6. La proportion de femmes est deux fois plus élevée quand *obsm* vaut 1. Ceci pourrait biaiser notre modèle.

Sur la figure 8b, on remarque également une proportion différente de femmes en fonction du type de véhicule. On pourrait expliquer cela par le fait que certains véhicules sont dans la réalité plus utilisés par les hommes, par exemple on pourrait imaginer qu'il y a plus d'hommes qui conduisent des motos. Il faudra être vigilant car cela peut être source de biais. Il se peut que notre modèle associe une moto à un homme. Dans le cas d'une femme sur une moto le résultat pourrait être soit forcément un accident mortel, ou bien forcément un accident non mortel.



(a) Proportion femmes/hommes en fonction de la présence d'un obstacle dans l'accident



(b) Proportion femmes/hommes en fonction de la catégorie du véhicule

4.2.2 L'âge du conducteur

On peut remarquer sur la figure 9 que la probabilité d'accident mortel est beaucoup plus élevée à l'âge de 21 ans. Cela est dû en partie au fait que les conducteurs de 21 ans sont surreprésentés. Cette probabilité risque de poser problème pour notre modèle. En effet l'âge n'est pas un paramètre déterminant dans l'évaluation de la gravité de l'accident. Le problème est que notre modèle va probablement associer l'âge de 21 ans à un accident mortel, peu importe les autres paramètres de l'accident. L'âge serait donc notre **attribut sensible**.

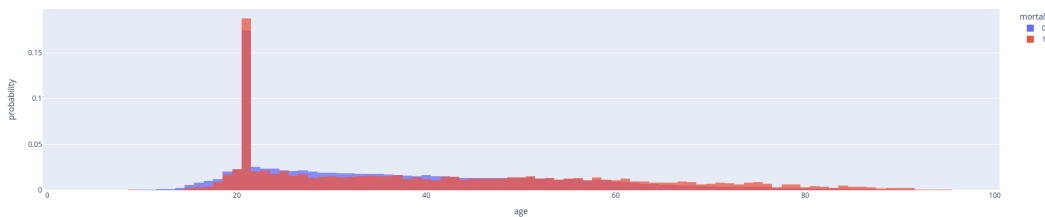


FIGURE 9 – Analyse bivariable âge – accident mortel

5 Apprentissage

5.1 Split

Séparer nos données en deux ensembles demandait de tenir compte d'une spécificité. Nous nous plaçons du point de vue d'un véhicule, mais bien souvent, plusieurs véhicules sont impliqués dans un même accident. Il nous a donc fallu adapter le split pour que les véhicules d'un même accident soient dans le même ensemble.

Par ailleurs, nous avons constaté que, si on ne le faisait pas, un surapprentissage lors du test se produisait. Typiquement, un trop grand nombre de morts étaient correctement prédits. Mais le modèle trouvait une partie de ces véhicules en les associant à ceux avec lesquels ils avaient eu un accident dans l'ensemble d'apprentissage.

5.2 Encodage One Hot

La base de données nous fournit, pour la plupart des attributs, des données qui peuvent être converties en entiers. Par exemple, une catégorie de véhicule (*catv*) est désignée par un chiffre. L'attribut reste cependant catégoriel. En pratique, les seuls attributs quantitatifs qui nous restent sont l'âge du conducteur, les mois et les départements. Le reste est soit binaire, soit qualitatif.

Tous les attributs qualitatifs ont donc été transformés en OneHot. Initialement, nous souhaitions optimiser le nombre de colonnes en réalisant les OneHot nous-mêmes. Par exemple, prenons "surf" (l'état de la surface de la route). Il est inutile de créer une colonne pour "Non-renseigné", "Autre" ou "normale". Nous sommes uniquement intéressés par les états spécifiques de la route.

Cependant, cette approche posait des problèmes car elle empêchait la réalisation de l'audit. Nous avons donc utilisé la méthode standard pour nos OneHot.

5.3 Arbre de décision

Une fois les données prêtes, nous avons utilisé le classifieur par arbres de décision pour obtenir un modèle. C'est le premier que nous avons utilisé. En ce qui concerne les résultats, le score d'accuracy est de 1 pour l'entraînement et de 0.9014 pour le test.

En ce qui concerne la matrice de confusion, on remarque que 27687 véhicules ont été classés correctement en tant qu'accidents non létaux. Tandis que 291 accidents mortels seulement ont été correctement identifiés. Cependant, 1413 accidents mortels ont été recensés à tort comme étant non létaux et 1648 véhicules ont subi le sort inverse.



FIGURE 10 – La matrice de confusion pour le classifieur d’arbres aléatoires

En résumé, on remarque que le modèle réussit très bien à classifier les accidents qui n’ont pas conduit à la mort de quelqu’un. Cependant, il lui apparaît bien plus difficile de trouver les véhicules impliqués dans des accidents mortels. On peut attribuer ceci au fait que ces accidents létaux ne représentent que 5.38% des véhicules accidentés répertoriés dans la base.

5.4 GaussianNB

Avancés dans le projet, nous avons voulu tester plusieurs classifieurs, tous ont donnés des résultats différents, pour certains médiocres. Mais nous avons trouvé un autre classifieur qui donnait des résultats intéressants : GaussianNB.

Il ne maximise pas notre accuracy score puisqu’il n’est que de 0.8734 à l’entraînement et de 0.8677 pour les tests. Ce qui a toutefois retenu notre attention, c’est le nombre d’accidents létaux qu’il parvient à détecter : 508 . Réduisant ainsi l’erreur associée (les accidents mortels recensés à tort comme étant non létaux) à seulement 1196 . Ceci s’accompagne malheureusement une perte de performances pour ce qui est de la détection d’accidents non mortels comme on peut le voir ci-dessous.



FIGURE 11 – La matrice de confusion avec GaussianNB

Un autre avantage qui peut ressembler à un inconvénient au départ est que ce classifieur demande des nombres et non des OneHot. Nos valeurs au départ sont en format numérique, rendant donc nos données compatibles avec cette approche. Ceci nous ouvre alors la possibilité de tester d’autres choses puisque le classifieur donne des probabilités et non des arbres. Au premier rang desquels *xplique*.

Par souci de concision cependant, nous prendrons le modèle issu du *tree classifier* pour tous les audits qui vont suivre, puisque c'est le premier avec lequel nous avons travaillé. On notera tout de même que lorsqu'on effectue ces audits avec *GaussianNB*, les résultats diffèrent en bien des points de ceux observés avec le *tree classifier*, preuve qu'ils ont une approche bien différente.

5.5 Base Rate

Nous avons voulu mesurer les résultats méritant potentiellement une protection : le fait qu'un piéton soit impliqué dans un accident et le sexe du conducteur. Voici les résultats :

- **Sexe du conducteur** 1 (un homme)
- **Disparate Impact** : 1.21767750298587 1.6331199049428085
- **P-rule disparate Impact** : 0.8212355057458954 0.6123249107266375
- **Démographie Parité** : 0.011747835864606336 0.02383701239031672

Ce qui est flagrant ici, c'est qu'il existe une disparité dans la prédiction d'accidents mortels pour les hommes. Allant par ailleurs dans le sens de ce qu'indique Disparate Impact par la suite. Notons cependant que la disparité démographique entre hommes et femmes existe mais est très faible.

- **Piéton** 1 (un piéton est impliqué)
- **Disparate Impact** : 1.0538191011165416 1.0968113720110815
- **P-rule Disparate Impact** : 0.9489294689576994 0.9117337999207913
- **Démographie Parité** : 0.003345154811069756 0.005266913173450724

Pour ce qui est de l'implication d'un piéton dans un accident, on constate ici aussi une légère disparité, soulignant leur plus grande implication dans des accidents mortels. Ceci concorde encore une fois avec le *disparate Impact*. Démographiquement, le cas est similaire au sexe, puisqu'on constate une légère disparité en leur faveur, bien que cette fois la disparité soit plus faible encore.

6 Audit du modèle

6.1 Génération des contrefactuels avec Dice

Dice nous a permis d'établir quels attributs influent sur la prédiction de notre modèle. Les résultats sont cependant assez variables d'une exécution à l'autre. On peut tout de même retrouver lesquels sont fréquemment impliqués dans le changement des exemples contrefactuels. Parmi eux, on peut noter que l'attribut *âge* est souvent représenté. Le taux d'accidents (notamment mortels) étant plus élevé chez les jeunes et les personnes âgées, cela paraît assez cohérent. L'attribut *obsm* est également souvent utilisé dans les exemples contrefactuels. Nous avons pu remarquer que l'attribut *col* est peu représenté dans les résultats, contrairement à l'hypothèse que nous avons pu faire lors de l'analyse.

Enfin, les attributs *dep* et *sexe_conducteur* sont également représentés. Ils pourraient être sources de biais, notamment l'attribut *dep* ; le modèle pourrait associer un département à une prédiction d'accident mortel.

6.2 BlackBoxAuditing

Les résultats que nous allons analyser sont issus du modèle généré par *tree classifier*.

Tout d'abord, l'audit a porté sur les 24 features que nous avons conservé afin d'élaborer ce modèle. On constate tout d'abord le rôle prédominant de l'âge pour l'accuracy score. À *0.84*,

ce dernier éclipse tous les autres. Une explication pourrait venir de ce que nous avons constaté dans notre analyse univariée : il y a une surreprésentation des jeunes de 20–21 ans dans ce set. Ceci est en réalité loin de surprendre puisqu’il s’aligne avec la politique de prix pratiquée par les assureurs envers les jeunes conducteurs.

Par la suite, on peut s’intéresser à l’évolution de l’accuracy en fonction du niveau de réparation appliqué à chaque attribut :

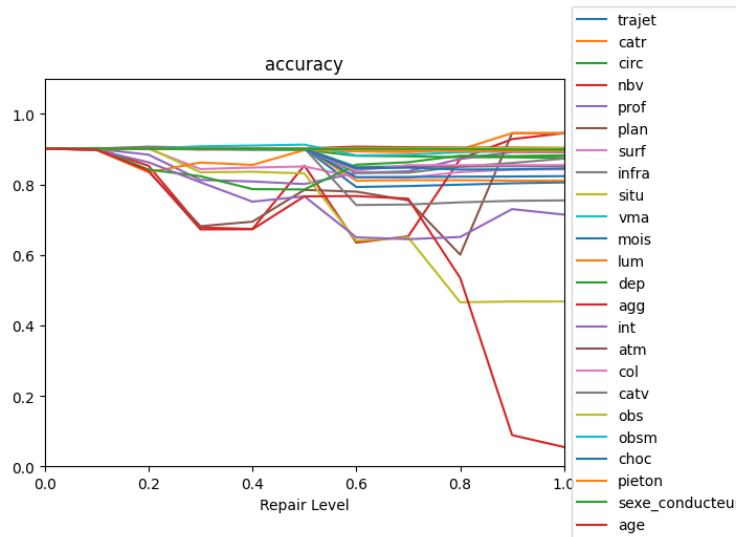


FIGURE 12 – L’accuracy en fonction du niveau de réparation pour chaque attribut.

On reconnaît tout de suite les attributs dont l’accuracy est au plus haut en regardant ceux qui s’effondrent le plus. En premier lieu, l’âge s’illustre à nouveau. À la lumière de ceci, il apparaît évident que le modèle discrimine fortement les véhicules en fonction de l’âge du conducteur. Dans une moindre mesure, on constate la même chose pour *situ*, qui fait référence à la localisation géographique de l’accident. Ce qui paraît sensé, étant donné que certains lieux sont plus dangereux que d’autres. Enfin, on observe que le type d’intersection et la catégorie du véhicule sont également sources de discriminations de la part de notre modèle. Encore une fois, cela semble cohérent.

Toutefois, notons l’absence de quelques attributs notables tels que le nombre de voies, le sexe du conducteur (chose intéressante : ce n’est pas le cas avec GaussianNB), le type de collision, le type d’obstacle heurté ou encore le fait qu’un piéton soit impliqué.

Maintenant regardons l’équilibre du modèle à l’aide du BCR.

On remarque ici que les attributs sont plutôt centrés autour de 0.5 et que la plupart reste rectiligne, mais que certains divergent quelque peu. Cet évasement est dû à des attributs déjà connus tels que *âge* ou *catv*. D’autres influent aussi mais ne s’étaient pas illustrés précédemment, à l’image du nombre de voies (*nbv*), du profil de la route (*plan*) ainsi que de la luminosité (*lum*).

Malgré cela, l’évasement assez faible laisse penser que le modèle est plutôt équilibré. De plus, comme mentionné précédemment dans la section dédiée au split, nous avons pu tester le cas où l’on acceptait que des véhicules impliqués dans le même accident se retrouvent dans des ensembles différents (entraînement / test). Ce qu’il ressortait alors du BCR était un évasement

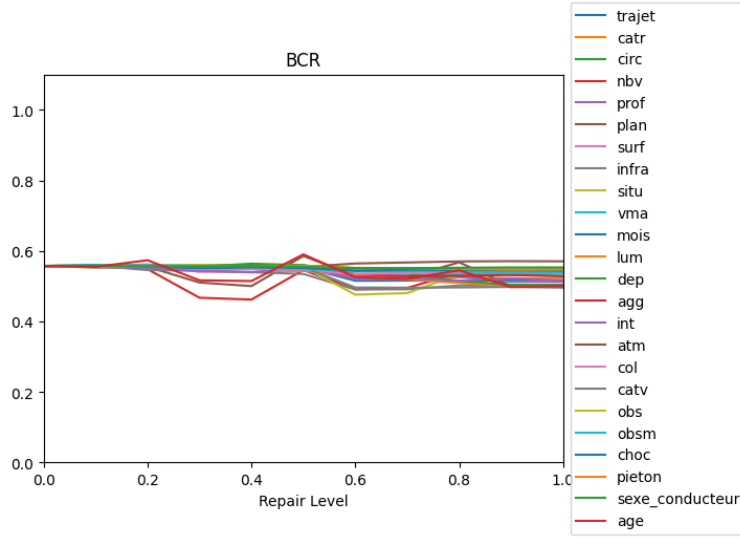


FIGURE 13 – Le BCR en fonction du niveau de réparation pour chaque attribut.

beaucoup plus important et une origine située vers 0.68. Ce qui laisse à penser que cette version était bel et bien trop modelée sur le train set, l'équilibre était rompu.

Pour conclure, BlackBoxAuditing nous a permis de comprendre quels étaient les attributs les plus discriminés. Âge est certainement le plus notable.

6.3 Expliquer le modèle avec les valeurs de Shapley

Afin d'analyser la contribution des différents attributs dans notre modèle, nous avons utilisé les valeurs de Shapley. Nous avons d'abord essayé de calculer la valeur exacte avec la fonction `ShapleyValues` du module *ShapKit*. Cependant, le nombre d'attributs de notre dataset est trop important et le calcul trop long. Il a donc fallu calculer une approximation de la valeur de Shapley avec la fonction `MonteCarloShapley`. Nous devons cependant être prudents car ce calcul de l'approximation nous donne une tendance pour notre modèle mais certainement pas une valeur exacte. On peut le constater en changeant le nombre d'itérations, qui produit souvent un résultat différent. Toutes les approximations ont ici été calculées avec `n_iter=1000`.

Le temps de calcul étant encore assez long nous avons parallélisé le calcul des valeurs de Shapley. Les calculs ont ensuite été séparés en deux, d'un côté pour les prédictions qui donnent 1 et de l'autre pour celles qui donnent 0. ON peut ainsi avoir une idée des attributs décisifs dans les deux cas.

Ce qui ressort des résultats obtenus est que les attributs *col*, *choc*, *obsm*, *int* et *agg* contribuent souvent au résultat. Ce résultat paraît plutôt cohérent. En revanche, on retrouve également assez souvent les attributs *mois*, *âge* et *dep*. Ces attributs ne devraient pas contribuer autant à la sortie de notre modèle. Il peuvent constituer un biais (ce n'est pas parce qu'on a un accident à l'âge de 21 ans que l'on va forcément mourir, d'autres attributs sont beaucoup plus importants).

Pour l'attribut *sexe_conducteur* on nous donne une contribution nulle de cet attribut. Cela peut nous encourager dans l'idée que le sexe n'est pas un biais pour notre modèle contrairement à ce que nous pouvions penser au départ.

Ci-dessous un résultat obtenu du calcul des valeurs de Shapley. Vous pouvez retrouver un échantillon des résultats dans l'annexe ? de ce rapport.

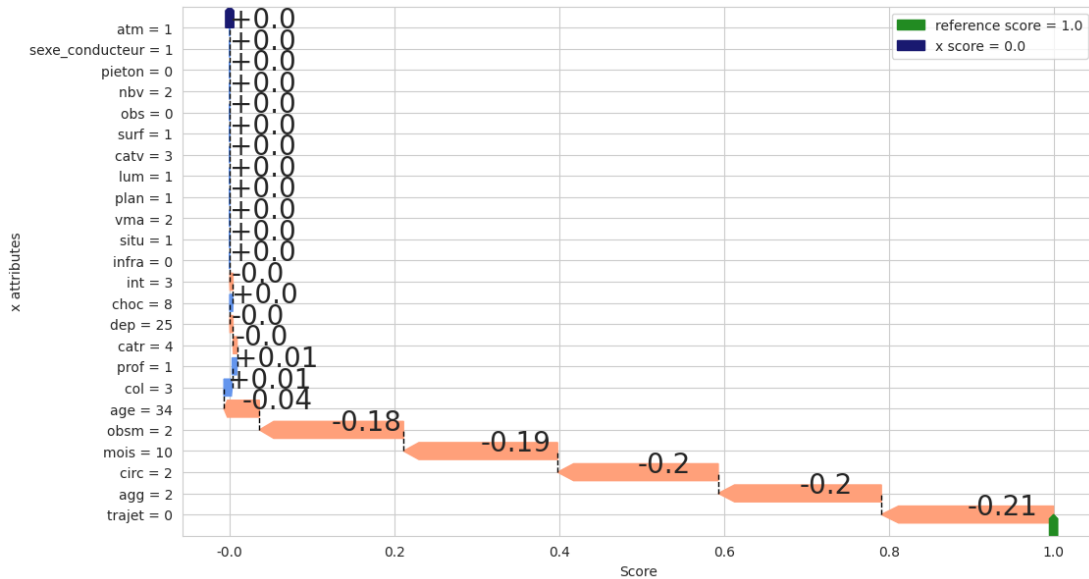


FIGURE 14 – Une approximation des valeurs de Shapley

6.4 Expliquer le modèle avec Lime

Nous avons également utilisé *Lime* afin d'avoir une idée des attributs qui contribuent le plus aux prédictions de notre modèle. On peut retrouver le code correspondant dans le fichier `lime.ipynb`.

Nous avons d'abord récupéré les indices des prédictions positives de notre modèle (avec lesquelles les entrées notre modèle prédit 1). Ainsi, on a pu regarder dans les cas où les prédictions sont 0 et les cas où les prédictions sont 1. On peut remarquer qu'on trouve des variables similaires à celles trouvées avec les valeurs de Shapley. On retrouve notamment assez fréquemment l'attribut *agg*. Cependant, contrairement au résultat que pouvait nous donner *ShapKit*, l'attribut *mois* est moins représenté. Les contributions sont également plus réparties entre les attributs. Enfin, il semble que, comme nous avons pu l'observer avec les valeurs de Shapley, l'attribut *sexe_conducteur* ait un faible impact sur la prédiction.

7 Premières conclusions

Pour ce projet nous avons cherché un dataset qui nous intéressait, et nous avons choisi celui rapportant les accidents de la route. Pourvu de nombreux attributs, nous avons dû adapter leur format avant de pouvoir les analyser de manière univariée puis bivariée. Lors du premier essai, nous avons fait le choix d'utiliser des arbres de décision. Ce qui nous a conduit à transformer beaucoup de nos variables en OneHot. L'accuracy de ce modèle était élevée, mais il a du mal à trouver les accidents réellement mortels. Pour ce modèle, nous avons par la suite calculé le base rate puis effectué quelques audits tels que dice, BlackBoxAuditing et shapkit.

Par la suite nous avons essayé de trouver un classifieur qui avait de meilleures performances, c'est

ainsi que nous avons trouvé GaussianNB, qui est meilleur pour détecter les véhicules impliqués dans des accidents vraiment mortels. Pour ce modèle nous avons aussi effectué les audits évoqués précédemment, mais nous ne les avons pas analysés dans ce rapport. Ce qui conclut notre premier rendu.

L'analyse des données puis les audits que nous avons effectués après entraînement du modèle nous ont permis d'identifier plusieurs attributs sensibles. D'abord nous pensions que le genre du conducteur pourrait avoir un impact sur la prédiction. Cela aurait été un biais de notre modèle. Or nous avons pu observer via les différents outils utilisés que le genre du conducteur a un impact très faible sur la prédiction du modèle. En revanche, le travail effectué nous a permis d'identifier d'autres attributs sensibles qui eux ont réel impact sur les sorties du modèle. Les attributs *âge*, *dep* et *mois* sont des attributs que nous avons identifié comme sensibles pour notre modèle. Ils ont un impact assez important sur les prédictions et pourtant ne devraient pas être décisifs dans la classification d'un accident mortel ou non mortel.

8 Une réflexion pour la suite

Cette première partie nous a permis de nous familiariser avec notre jeu de données. L'objectif de classification a été une question qui nous a suivi du début de ce projet jusqu'à la rédaction de ce rapport. Les premières conclusions nous ont mené encore une fois à la réflexion sur une nouvelle direction à suivre pour la classification. Ne faudrait-il pas classifier l'ensemble des gravité ? Nous nous basons dans cette première partie sur des données dans lesquelles nous avons seulement 5% d'accidents mortels. Ne serait-il pas judicieux de prendre en compte l'ensemble de gravité et donc de travailler sur des proportions plus conséquentes ?

Ces questions seront déterminantes pour la suite de ce projet.

Deuxième partie

Correction des biais

9 Améliorations du modèle

Cette deuxième partie du projet a commencé par l'amélioration des premiers résultats. Nous allons parcourir dans cette section les différentes améliorations effectuées avant d'arriver à la correction des biais.

9.1 Sur-échantillonnage

Le pré-traitement des données a été amélioré avec l'utilisation de l'outil de sur-échantillonnage *SMOTE*. Nous avons pu remarquer lors de l'analyse de nos données que les accidents mortels sont minoritaires (environ 5%). Cet outil nous permet de rééquilibrer les classes afin d'avoir un meilleur apprentissage sur la classe des accidents mortels. Le *SMOTE* va générer de nouveaux individus minoritaires qui ressemblent à ceux déjà présents sans pour autant être identiques. Nous pouvons voir sur la figure 15 que le rééquilibrage nous donne 50% pour chaque classe tout en affectant peu les proportions sur les autres attributs comme nous le montre la figure 16 qui prend pour exemple l'attribut *sexe_conducteur*. Les résultats observés dans la suite du projet sont bien plus concluants en utilisant cette méthode. Tous les résultats obtenus dans la suite utilisent donc cette méthode lors du prétraitement.



(a) Accidents mortels avant SMOTE

(b) Accidents mortels après SMOTE

FIGURE 15 – Accidents mortels avant/après SMOTE

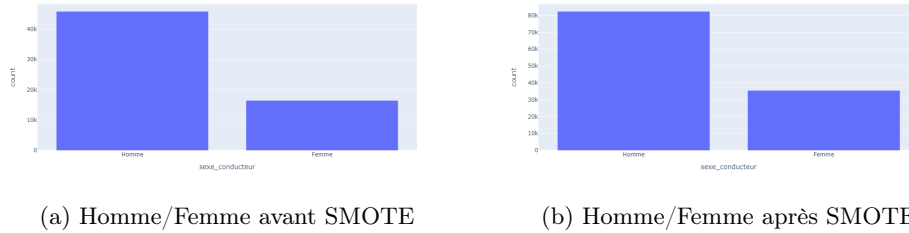


FIGURE 16 – Proportion Homme/Femme avant et après SMOTE

9.2 *Random Forest Classifier*

La première partie de ce projet utilisait un *Decision Tree Classifier*. Afin d’avoir un modèle plus robuste, nous avons décidé d’utiliser une forêt aléatoire. À première vue, les résultats étaient bien moins bons. En effet le nombre de vrais positifs est très faible. Cependant, en modifiant le seuil d’acceptation on peut faire évoluer la quantité de vrais positifs et obtenir des résultats bien plus intéressants. Une classe a été créée afin de surcharger la méthode `predict` de la classe *RandomForestClassifier*. Le seuil a été fixé dans un premier temps à 0.2. Nous verrons dans la suite comment régler ce seuil afin de réduire au maximum les biais.

10 Pre-processing

10.1 Repondération

La repondération vise à donner un poids différent aux attributs afin de réduire les biais. Ces poids sont ensuite utilisés lors de l’apprentissage. Après repondération de notre dataset d’entraînement nous obtenons une différence nulle entre les deux classes. Après apprentissage et observation des résultats de notre modèle, nous pouvons faire deux observations. Premièrement les métriques de fairness sont très positives. Le disparate impact passe de 0.50 à 0.94 pour les femmes. La seconde observation est que l’accuracy de notre modèle a en revanche diminué de 0.87 à 0.75. Cela peut s’expliquer par une augmentation du nombre de faux positifs. En revanche un point intéressant est que le nombre de vrais positifs est ici plus élevé que le nombre de positifs prédits faux, ce qui n’était pas le cas sur les modèles testés jusqu’ici. La matrice de confusion (figure 17) nous montre les résultats obtenus après repondération.

10.2 Disparate Impact Remover

Les résultats obtenus avec le *Disparate impact remover* sont similaires à ceux obtenus avec la repondération. On obtient une accuracy de 0.75 et un disparate impact de 0.89. Le disparate impact est un peu moins bon que celui obtenu avec la repondération pour une accuracy équivalente. On peut remarquer que tout comme avec la repondération, la matrice de confusion nous montre une tendance allant vers plus de faux positifs. On remarque également encore une amélioration des prédictions de vrais positifs qui est très proche de celle obtenue par la méthode précédente. Ci-dessous la matrice de confusion (figure 18) du modèle utilisant le disparate impact remover.

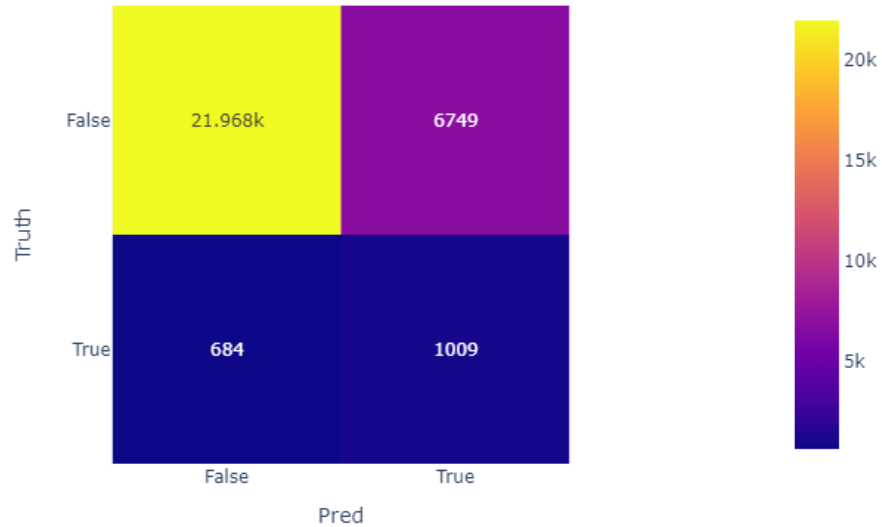


FIGURE 17 – Matrice de confusion avec repondération

10.3 Représentation latente fair

11 In-processing

11.1 Adversarial debiasing

12 Post-processing

12.1 Reject option classification

12.1.1 Un nouveau seuil

Le but de cette méthode de correction de biais post-preprocessing, est de faire varier le seuil de décision de manière à trouver celui qui a la meilleure fairness, pour le comparer au seuil ayant la meilleure accuracy.

Toujours à l'aide d'AIF 360, nous avons utiliser ROC en paramétrant le groupe privilégié à 1 (Hommes) et les lésés à 0 (Femmes). Les résultat sont les suivant :

- Sans fairness : 0.1189
- Avec fairness : 0.1289

De ces résultats on peut sortir deux observations. Tout d'abord, ROC à senti le besoin de déplacer le seuil de sorte à corriger le biais. Ensuite, la correction effectuée est minime dans son ampleur.

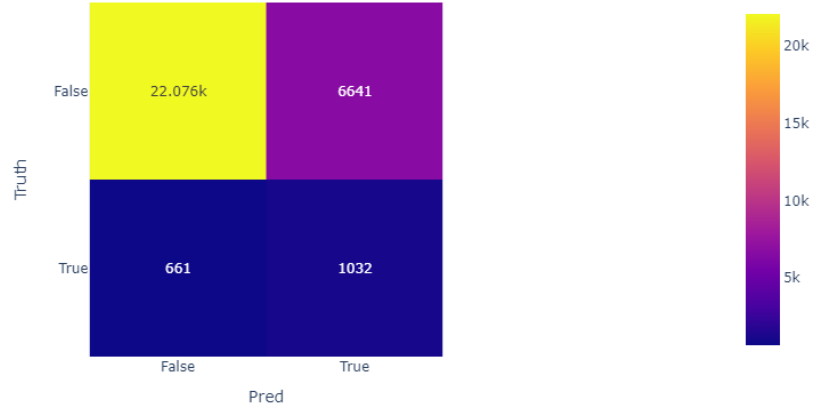


FIGURE 18 – Matrice de confusion avec Disparate Impact Remover

12.1.2 Les nouvelles performances du modèle

Les répercussions sur l'accuracy quand à elles sont notables mais acceptables. On passe en effet de $0,876$ à $0,790$. Cependant, si on regarde un peu plus en détail la matrice de confusion, il paraît intéressant de noter que ce modèle détecte mieux les accidents mortels véritablement mortels. Pour être précis, ce nombre passe de 660 à 1044 ce qui constitue 62% des accidents mortels répertoriés dans l'ensemble. Ceci se fait au prix d'une augmentation des accidents non mortels faussement détectés. Malgré tout, le taux de détection de ce type d'accident reste élevé à 80% . Voilà pourquoi la qualification d'acceptable pour la baisse en accuracy est parfaitement adaptée.

12.1.3 Les performances pour la Fairness

La première observation que l'on peut faire, c'est que le disparate impact se voit corrigé pour les femmes. Pour être précis, avec le nouveau seuil, le disparate impact augmente à 0.640 là où celui des hommes est à 0.636 . Il s'est donc à la fois presque aligné à celui des hommes tout en se rapprochant de 1.

On remarque aussi que les taux d'erreur

$$P(\bar{Y} = 1 | (Y = 1, Z = 0))$$

$$P(\bar{Y} = 1 | (Y = 0, Z = 0))$$

$$P(\bar{Y} = 1 | (Y = 1, Z = 1))$$

$$P(\bar{Y} = 1 | (Y = 0, Z = 1))$$

chez les femmes se sont rapproché de ceux des hommes. ce qui atteste d'une correction de biais.

En revanche, il faut souligner que la correction de biais n'est pas complète. On peut même dire qu'elle est inférieure à d'autres méthodes telles que reweighing.

12.2 Calibrated equalized odds

13 Résultats

14 Conclusion

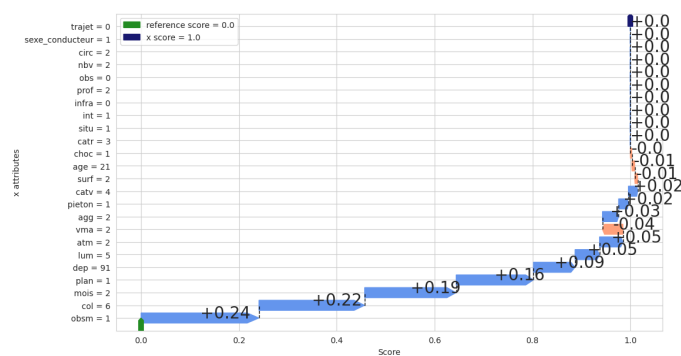
A Les données conservées pour le modèle.

| Attribut | Description |
|--------------------|--|
| <i>Num_Acc</i> | Numéro d'identifiant de l'accident |
| <i>jour mois</i> | Jour de l'accident, mois de l'accident |
| <i>an</i> | Année de l'accident |
| <i>hrmn</i> | Heure et minutes de l'accident |
| <i>lum</i> | Conditions d'éclairage dans lesquelles l'accident s'est produit |
| <i>dep</i> | Code INSEE du département |
| <i>agg</i> | Localisation en agglomération |
| <i>int</i> | Type d'intersection |
| <i>atm</i> | Conditions atmosphériques |
| <i>col</i> | Type de collision |
| <i>adr</i> | Adresse postale (pour les accidents en agglomération) |
| <i>lat</i> | Latitude |
| <i>long</i> | Longitude |
| <i>catr</i> | Catégorie de route |
| <i>voie</i> | Numéro de la route |
| <i>circ</i> | Régime de circulation |
| <i>nbv</i> | Nombre total de voies de circulation |
| <i>vosp</i> | Présence d'une voie réservée |
| <i>prof</i> | Profil en long de la route |
| <i>plan</i> | Tracé en plan de la route |
| <i>surf</i> | État de la surface de la route |
| <i>infra</i> | Présence d'aménagements ou d'infrastructures |
| <i>situ</i> | Situation géographique de l'accident |
| <i>vma</i> | Vitesses maximale autorisées |
| <i>id_vehicule</i> | Identifiant du véhicule (clé étrangère) |
| <i>catv</i> | Catégorie du véhicule impliqué dans l'accident |
| <i>obs</i> | Type d'obstacle heurté |
| <i>obsn</i> | Type d'obstacle mobile heurté |
| <i>choc</i> | Point de choc initial |
| <i>manv</i> | Manœuvre principale avant l'accident |
| <i>catu</i> | Catégorie d'utilisateur (conducteur, passager, piéton) |
| <i>grav</i> | Gravité de l'accident pour l'utilisateur |
| <i>sexe</i> | Sexe du conducteur |
| <i>trajet</i> | Motif du déplacement au moment de l'accident |
| <i>mortal</i> | Indique si le véhicule est impliqué dans un accident mortel (calculé dans le notebook) |

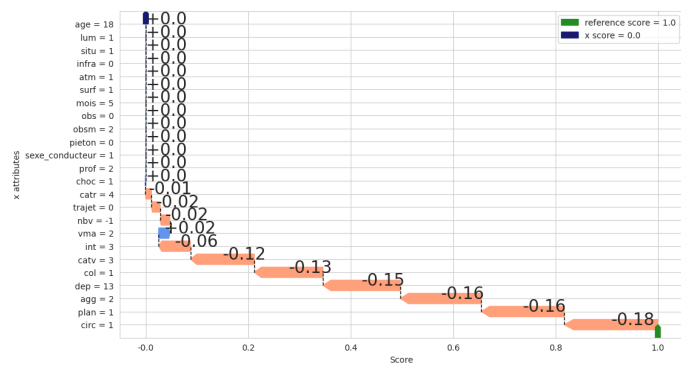
B Les données abandonnées et la raison de leur abandon

| Attribut | Description | Raison de l'abandon |
|--------------------|--|---|
| <i>id_vehicule</i> | identifiant numérique unique du véhicule | information administrative, une fois les tables jointes, cette information sans intérêt, n'est plus utile |
| <i>num_veh</i> | identifiant du véhicule pour associer les passagers du même véhicule | information administrative, une fois les tables jointes, cette information sans intérêt, n'est plus utile |
| <i>id_usager</i> | identifiant des usagers dans la base | utilisé lors des jointures, inutile par la suite |
| <i>com</i> | Numéro de commune (code INSEE) | commune trop spécifique, ça donne trop de catégories |
| <i>adr</i> | adresse de l'accident | trop spécifique, ne donne rien de pertinent |
| <i>lat</i> | latitude de l'accident | Ces informations positionnelles ne reflètent pas le type d'endroit où l'accident a lieu |
| <i>Long</i> | longitude de l'accident | Ces informations positionnelles ne reflètent pas le type d'endroit où l'accident a lieu |
| <i>Num_Acc</i> | Numéro d'identifiant de l'accident | information administrative, une fois les tables jointes, cette information sans intérêt, n'est plus utile |
| <i>voie</i> | Numéro de la route | pas pertinent, plusieurs routes ont le même numéro, les routes ont des sections plus dangereuses que d'autres |
| <i>V1</i> | Numéro de la route | pas pertinent, plusieurs routes ont le même numéro, les routes ont des sections plus dangereuses que d'autres |
| <i>V2</i> | Numéro de la route | pas pertinent, plusieurs routes ont le même numéro, les routes ont des sections plus dangereuses que d'autres |
| <i>vosp</i> | Signale l'existence d'une voie réservée, indépendamment du fait que l'accident ait lieu ou non sur cette voie. | attribut trop peu renseigné, peu d'accidents concernés |
| <i>pr</i> | numéro de la borne (routière) en amont | pas pertinent, beaucoup de routes sont non bornées, n'indique rien d'intéressant sur l'accident |
| <i>pr1</i> | Distance en mètres à la borne en amont | pas pertinent, beaucoup de routes sont non bornées, n'indique rien d'intéressant sur l'accident |
| <i>lartrpc</i> | largeur trottoir central en m | trop peu renseigné |
| <i>lartrout</i> | largeur de la chaussée en m | trop peu renseigné |
| <i>senc</i> | indique si le véhicule allait vers une borne supérieure ou inférieure à la précédente. | information administrative, pas utile |
| <i>manv</i> | indique la manœuvre en cours au moment de l'acci- | trop souvent inconnue ou non renseignée |

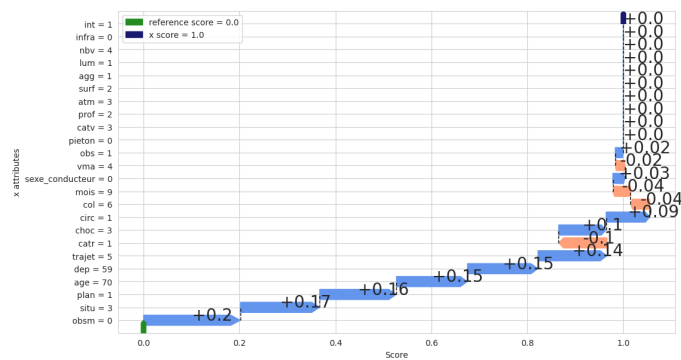
C Diagrammes en cascade des valeurs de Shapley



(a)



(b)



(c)

